

12024EUF0001

João Ninguém

**Instruções para a prova:**

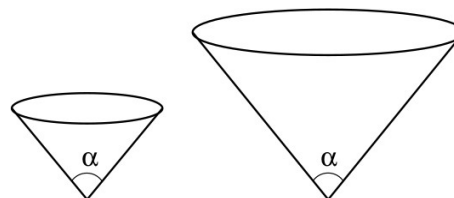
- Esta prova contém **40** problemas sobre mecânica clássica, eletromagnetismo, termodinâmica, física moderna, mecânica quântica e física estatística. Todas as questões têm o mesmo peso.
- O tempo de duração desta prova é de **4 horas**.  
O tempo mínimo de permanência na sala é de 90 minutos.
- Não é permitido o uso de calculadoras ou outros instrumentos eletrônicos.
- Assinale as alternativas corretas na folha de respostas que se encontra no final do caderno de questões, preenchendo **inteiramente** o quadradinho correspondente a caneta azul ou preta.  
**Alternativas assinaladas fora da folha de respostas não serão consideradas** Não destaque a folha de respostas. Erros na marcação da resposta podem ser corrigidos com corretivo branco.
- Ao final da prova, devolva tanto o caderno de questões quanto o formulário.

12024EUF0001

João Ninguém

## Q. 1 [mcPT1a]

Cones semelhantes (mas de dimensões distintas) feitos do mesmo material são soltos do repouso, como ilustrado ao lado, e caem verticalmente sob ação da gravidade e da resistência do ar. Nota-se que as velocidades terminais desses cones são iguais. Dentre as afirmações a seguir, quais delas são **necessárias** para que as velocidades terminais sejam iguais?

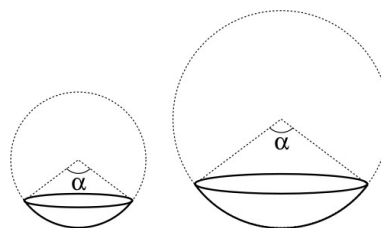


- I. A força de arraste é proporcional ao quadrado da velocidade.  
 II. A força de arraste é proporcional à área do cone.  
 III. A força de arraste é proporcional ao raio do cone.

☒ Apenas II      ☐ I e III      ☐ I e II      ☐ Apenas I      ☐ Apenas III

## Q. 2 [mcPT1b]

Calotas esféricas semelhantes (mas de dimensões distintas) feitas do mesmo material são soltas do repouso, como ilustrado ao lado, e caem verticalmente sob ação da gravidade e da resistência do ar. Nota-se que as velocidades terminais dessas calotas são iguais. Dentre as afirmações a seguir, quais delas são **necessárias** para que as velocidades terminais sejam iguais?

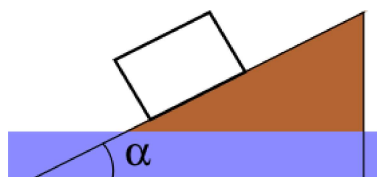


- I. A força de arraste é proporcional ao quadrado da velocidade.  
 II. A força de arraste é proporcional à área da calota.  
 III. A força de arraste é proporcional ao raio da calota.

☒ Apenas II      ☐ I e III      ☐ I e II      ☐ Apenas I      ☐ Apenas III

**Q. 3 [mcPT2a]**

A figura ao lado ilustra um bloco de densidade  $\rho$  sobre um plano inclinado de ângulo  $\alpha$  que é ligeiramente menor que o ângulo máximo de inclinação para que o bloco não deslize. O sistema todo está dentro de um recipiente com líquido de densidade  $\rho' = \rho/2$  e cujo nível se eleva lentamente.



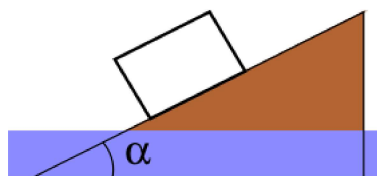
Desconsiderando os efeitos de arraste do líquido e assumindo que o coeficiente de atrito entre o bloco e o plano inclinado é **inalterado** pela presença do líquido, quais das afirmações a seguir são verdadeiras?

- I. Assim que a camada de líquido atingir o bloco, a força normal entre o bloco e o plano inclinado começa a diminuir.
- II. O bloco desliza assim que a camada de líquido o atingir.
- III. O bloco desliza apenas após a camada de líquido submergir 1/2 de seu volume.

☒ Apenas I    ☐ Apenas II    ☐ Apenas II    ☐ I e II    ☐ I e III

**Q. 4 [mcPT2b]**

A figura ao lado ilustra um bloco de densidade  $\rho$  sobre um plano inclinado de ângulo  $\alpha$  que é ligeiramente menor que o ângulo máximo de inclinação para que o bloco não deslize. O sistema todo está dentro de um recipiente com líquido de densidade  $\rho' = \rho/3$  e cujo nível se eleva lentamente.



Desconsiderando os efeitos de arraste do líquido e assumindo que o coeficiente de atrito entre o bloco e o plano inclinado é **inalterado** pela presença do líquido, quais das afirmações a seguir são verdadeiras?

- I. A força normal entre o bloco e o plano inclinado é tanto menor quanto maior for a fração de bloco submersa.
- II. O bloco desliza pouco após a camada de líquido o atingir.
- III. O bloco desliza apenas após a camada de líquido submergir 2/3 de seu volume.

☒ Apenas I    ☐ Apenas II    ☐ Apenas II    ☐ I e II    ☐ I e III

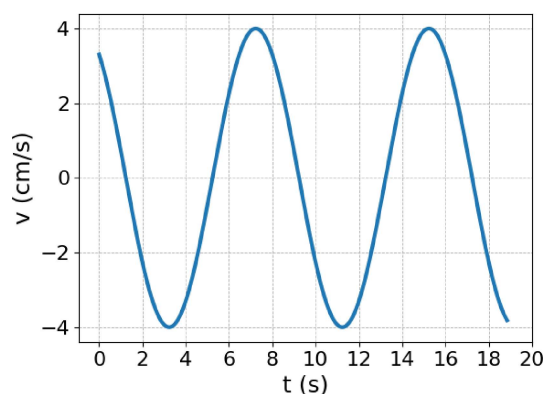
**Q. 5 [mcPT3a]** Uma bola de boliche de massa  $M$  e raio  $R$  é jogada em uma pista perfeitamente horizontal com velocidade inicial  $v_0$  e sem girar. Sendo  $\mu > 0$  o coeficiente de atrito **cinético** entre a bola e a pista e considerando a bola como uma casca esférica, qual a velocidade final da mesma após o **deslizamento** cessar? (Considere a bola e a pista como idealmente rígidos. O momento de inércia de uma casca esférica em torno de um eixo contendo seu centro de massa é  $2MR^2/3$ .)

☒  $\frac{3}{5}v_0$     ☐ 0    ☐  $\sqrt{\frac{3}{5}}v_0$     ☐  $\frac{1}{1+\mu}v_0$     ☐  $\frac{1}{1+\frac{2}{3}\mu}v_0$

**Q. 6 [mcPT3b]** Uma bola de boliche de massa  $M$  e raio  $R$  é jogada em uma pista perfeitamente horizontal com velocidade inicial  $v_0$  e sem girar. Sendo  $\mu > 0$  o coeficiente de atrito **cinético** entre a bola e a pista e considerando a bola como uma esfera homogênea, qual a velocidade final da mesma após o **deslizamento** cessar? (Considere a bola e a pista como idealmente rígidos. O momento de inércia de uma esfera homogênea em torno de um eixo que passa pelo seu centro de massa é  $2MR^2/5$ .)

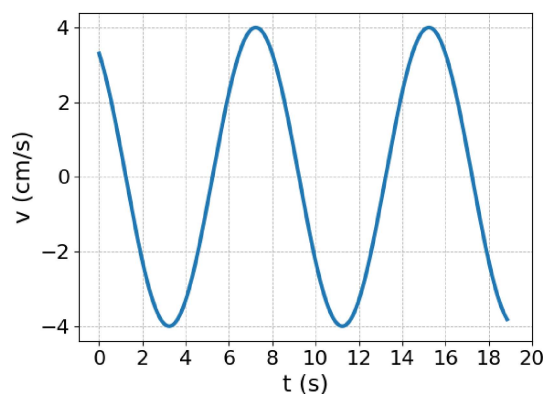
- ☒ A  $\frac{5}{7}v_0$    
 ☐ B  $0$    
 ☐ C  $\sqrt{\frac{5}{7}}v_0$    
 ☐ D  $\frac{1}{1+\mu}v_0$    
 ☐ E  $\frac{1}{1+\frac{2}{5}\mu}v_0$

**Q. 7 [mcPT4a]** A **velocidade** como função do tempo para uma partícula em oscilação harmônica é apresentada na figura abaixo. Assumindo  $x(t) = A \cos(\omega t + \delta)$ , determine a opção que melhor descreve a frequência angular  $\omega$  e a amplitude do movimento  $A$ .



- ☒ A  $\omega = \frac{\pi}{4} \text{ rad/s}; A = \frac{16}{\pi} \text{ cm}$   
☐ B  $\omega = \frac{\pi}{2} \text{ rad/s}; A = \frac{8}{\pi} \text{ cm}$   
☐ C  $\omega = \frac{\pi}{8} \text{ rad/s}; A = \frac{32}{\pi} \text{ cm}$   
☐ D  $\omega = 4\pi \text{ rad/s}; A = \frac{1}{\pi} \text{ cm}$   
☐ E  $\omega = 2\pi \text{ rad/s}; A = \frac{2}{\pi} \text{ cm}$

**Q. 8 [mcPT4b]** A **velocidade** como função do tempo para uma partícula em oscilação harmônica é apresentada na figura abaixo. Assumindo  $v(t) = A \cos(\omega t + \delta)$ , determine a opção que melhor descreve a frequência angular  $\omega$  e o módulo da máxima aceleração  $a_{\max}$ .



- ☒ A  $\omega = \frac{\pi}{4} \text{ rad/s}; a_{\max} = \pi \text{ cm/s}^2$   
☐ B  $\omega = \frac{\pi}{2} \text{ rad/s}; a_{\max} = 2\pi \text{ cm/s}^2$   
☐ C  $\omega = \frac{\pi}{8} \text{ rad/s}; a_{\max} = \frac{\pi}{2} \text{ cm/s}^2$   
☐ D  $\omega = \frac{\pi}{8} \text{ rad/s}; a_{\max} = \frac{\pi}{2} \text{ cm/s}^2$   
☐ E  $\omega = 2\pi \text{ rad/s}; a_{\max} = 8\pi \text{ cm/s}^2$

**Q. 9 [mcPT5a]** Em um experimento de colisões realizado na disciplina de Física Experimental, os alunos colocam dois blocos  $A$  e  $B$ , de mesma massa  $m$ , sobre um trilho de ar.



O bloco  $B$  tem preso a si uma mola de constante elástica  $k$  e massa desprezível. Antes da colisão, o bloco  $B$  está em repouso, enquanto o bloco  $A$  se aproxima com velocidade linear de módulo  $v_0$ , como mostrado na figura acima. Assumindo que perdas de energia por atrito sejam desprezíveis, determine o módulo da compressão máxima  $\Delta x_{\max}$  da mola durante a colisão. Expresse seu resultado como função dos parâmetros  $m$ ,  $k$  e  $v_0$ .

- ☐  $\Delta x_{\max} = \sqrt{\frac{mv_0^2}{2k}}$ 
☐  $\Delta x_{\max} = \sqrt{\frac{mv_0^2}{4k}}$ 
☐  $\Delta x_{\max} = \sqrt{\frac{3mv_0^2}{2k}}$   
☐  $\Delta x_{\max} = \sqrt{\frac{mv_0^2}{k}}$ 
☐  $\Delta x_{\max} = \sqrt{\frac{2mv_0^2}{k}}$

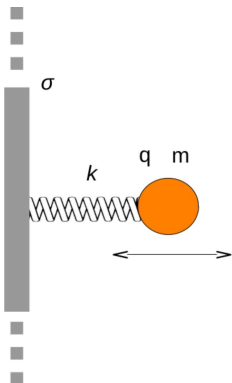
**Q. 10 [mcPT5b]** Em um experimento de colisões realizado na disciplina de Física Experimental, os alunos colocam dois blocos  $A$  e  $B$ , de mesma massa  $m$ , sobre um trilho de ar.



O bloco  $B$  tem preso a si uma mola de constante elástica  $k$  e massa desprezível. Antes da colisão, o bloco  $B$  está em repouso, enquanto o bloco  $A$  se aproxima com velocidade linear de módulo  $v_0$ , como mostrado na figura acima. Pelas filmagens do experimento, os alunos foram capazes de estimar a compressão máxima  $\Delta x_{\max}$  sofrida pela mola durante a colisão. Assumindo que perdas de energia por atrito sejam desprezíveis, determine o módulo da velocidade inicial  $v_0$  do bloco  $A$ . Expresse seu resultado como função dos parâmetros  $m$ ,  $k$  e  $\Delta x_{\max}$ .

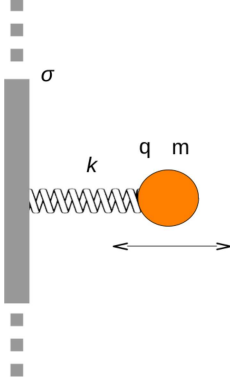
- ☐  $v_0 = \sqrt{\frac{2k\Delta x_{\max}^2}{m}}$ 
☐  $v_0 = \sqrt{\frac{4k\Delta x_{\max}^2}{m}}$ 
☐  $v_0 = \sqrt{\frac{2k\Delta x_{\max}^2}{3m}}$   
☐  $v_0 = \sqrt{\frac{k\Delta x_{\max}^2}{m}}$ 
☐  $v_0 = \sqrt{\frac{k\Delta x_{\max}^2}{2m}}$

**Q. 11 [mcPT6a]** Uma partícula puntiforme de massa  $m$  e carga  $q$  está acoplada a um plano delgado infinito por uma mola ideal (isolante) de massa desprezível, comprimento  $L$  e constante elástica  $k$ . O plano é dielétrico e tem carga superficial  $\sigma$  homogênea, de **mesmo sinal** que  $q$ . A partícula pode oscilar livremente na coordenada normal ao plano, como ilustrado na figura abaixo. Desconsiderando efeitos da gravidade e perdas de energia por radiação, determine (i) a deformação  $\Delta L$  da mola no equilíbrio e (ii) a frequência angular  $\omega$  de oscilação da partícula. Utilize o SI, em que o campo elétrico de um plano infinito é  $\vec{E} = \frac{1}{2}(\sigma/\epsilon_0)\hat{n}$ , sendo  $\hat{n}$  o vetor normal ao plano. Considere a deformação da mola como positiva (negativa) quando a mola está estendida (comprimida).



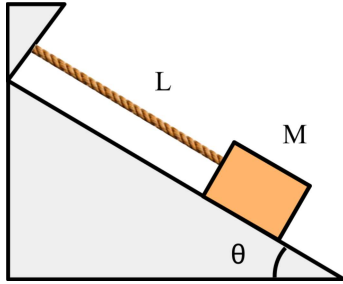
- ☐ (i)  $\Delta L = \frac{|q\sigma|}{2k\epsilon_0}$  e (ii)  $\omega = \sqrt{\frac{k}{m}}$   
☐ (i)  $\Delta L = -\frac{|q\sigma|}{2k\epsilon_0}$  e (ii)  $\omega = \sqrt{\frac{k}{m}}$   
☐ (i)  $\Delta L = \frac{|q\sigma|}{2k\epsilon_0}$  e (ii)  $\omega = \sqrt{\frac{k}{m} + \frac{|q\sigma|}{2k\epsilon_0}}$   
☐ (i)  $\Delta L = -\frac{|q\sigma|}{2k\epsilon_0}$  e (ii)  $\omega = \sqrt{\frac{k}{m} + \frac{|q\sigma|}{2k\epsilon_0}}$   
☐ (i)  $\Delta L = \frac{|q\sigma|}{k\epsilon_0}$  e (ii)  $\omega = \sqrt{\frac{k}{m} - \frac{|q\sigma|}{k\epsilon_0}}$

**Q. 12 [mcPT6b]** Uma partícula puntiforme de massa  $m$  e carga  $q$  está acoplada a um plano delgado infinito por uma mola ideal (isolante) de massa desprezível, comprimento  $L$  e constante elástica  $k$ . O plano é dielétrico e tem carga superficial  $\sigma$  homogênea, de  **sinal oposto** a  $q$ . A partícula pode oscilar livremente na coordenada normal ao plano, como ilustrado na figura abaixo. Desconsiderando efeitos da gravidade e perdas de energia por radiação, determine (i) a frequência angular  $\omega$  de oscilação da partícula e (ii) a deformação  $\Delta L$  da mola no equilíbrio. Utilize o SI, em que o campo elétrico de um plano infinito é  $\vec{E} = \frac{1}{2}(\sigma/\epsilon_0)\hat{n}$ , sendo  $\hat{n}$  o vetor normal ao plano. Considere a deformação da mola como positiva (negativa) quando a mola está estendida (comprimada).



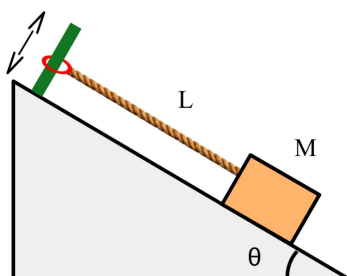
- ☒ (i)  $\omega = \sqrt{\frac{k}{m}}$  e (ii)  $\Delta L = -\frac{|q\sigma|}{2k\epsilon_0}$   
☐ (i)  $\omega = \sqrt{\frac{k}{m}}$  e (ii)  $\Delta L = \frac{|q\sigma|}{2k\epsilon_0}$   
☐ (i)  $\omega = \sqrt{\frac{k}{m} - \frac{|q\sigma|}{2k\epsilon_0}}$  e (ii)  $\Delta L = \frac{|q\sigma|}{2k\epsilon_0}$   
☐ (i)  $\omega = \sqrt{\frac{k}{m} + \frac{|q\sigma|}{2k\epsilon_0}}$  e (ii)  $\Delta L = -\frac{|q\sigma|}{2k\epsilon_0}$   
☐ (i)  $\omega = \sqrt{\frac{k}{m} - \frac{|q\sigma|}{k\epsilon_0}}$  e (ii)  $\Delta L = \frac{|q\sigma|}{k\epsilon_0}$

**Q. 13 [mcPT7a]** Um bloco de massa  $M$  está em repouso sobre um plano inclinado sem atrito, de inclinação  $\theta$ , sustentado por uma corda de massa  $m$  e comprimento  $L$ , como mostrado na Figura abaixo. A corda está presa nas duas extremidades. Dada essa configuração do sistema e sabendo que  $m \ll M$ , determine a menor frequência de oscilação  $f_1$  de uma onda mecânica na corda. Expresse seu resultado como função de  $m$ ,  $M$ ,  $g$ ,  $\theta$  e  $L$ . Trate a corda como unidimensional.



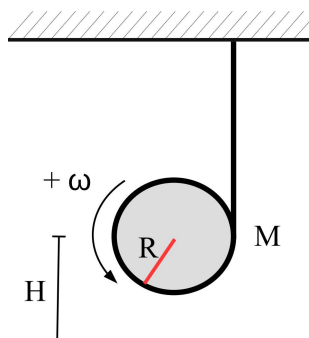
- ☒  $f_1 = \frac{1}{2}\sqrt{\frac{Mg \sin \theta}{mL}}$   
☐  $f_1 = \sqrt{\frac{Mg \sin \theta}{mL}}$   
☐  $f_1 = 2\sqrt{\frac{Mg \sin \theta}{mL}}$   
☐  $f_1 = \frac{1}{2}\sqrt{\frac{Mg \cos \theta}{mL}}$   
☐  $f_1 = \sqrt{\frac{Mg \cos \theta}{mL}}$

**Q. 14 [mcPT7b]** Um bloco de massa  $M$  está em repouso sobre um plano inclinado sem atrito, de inclinação  $\theta$ , sustentado por uma corda de massa  $m$  e comprimento  $L$ , como mostrado na figura abaixo. A corda está presa ao bloco, porém está livre para se movimentar ao longo do eixo do suporte, na extremidade oposta. Dada essa configuração do sistema e sabendo que  $m \ll M$ , determine a menor frequência de oscilação  $f_1$  de uma onda mecânica na corda. Expresse seu resultado como função de  $m$ ,  $M$ ,  $g$ ,  $\theta$  e  $L$ . Trate a corda como unidimensional.



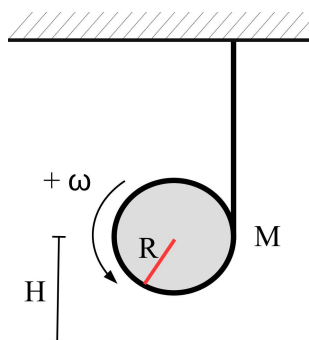
- ☐ A  $f_1 = \frac{1}{4} \sqrt{\frac{Mg \sin \theta}{mL}}$
- ☐ B  $f_1 = \frac{1}{2} \sqrt{\frac{Mg \sin \theta}{mL}}$
- ☐ C  $f_1 = \frac{3}{2} \sqrt{\frac{Mg \sin \theta}{mL}}$
- ☐ D  $f_1 = \frac{3}{4} \sqrt{\frac{Mg \cos \theta}{mL}}$
- ☐ E  $f_1 = \sqrt{\frac{Mg \cos \theta}{mL}}$

**Q. 15 [mcPT8a]** Um disco homogêneo de massa  $M$  e raio  $R$  está acoplado ao teto através de uma corda (de massa desprezível) enrolada nas suas bordas. O disco é abandonado do repouso sob ação da gravidade  $g$ , tal como ilustrado na figura abaixo. Desprezando eventuais perdas de energia e assumindo que a corda **não** desliza sobre a borda do disco, determine a velocidade angular  $\omega$  do disco como função da altura  $H$  em relação a sua posição inicial. O momento de inércia do disco em torno de um eixo perpendicular contendo seu centro de massa é  $MR^2/2$ .



- ☐ A  $\omega = \sqrt{\frac{4gH}{3R^2}}$
- ☐ B  $\omega = \sqrt{\frac{gH}{R^2}}$
- ☐ C  $\omega = \sqrt{\frac{gH}{2R^2}}$
- ☐ D  $\omega = \sqrt{\frac{2gH}{R^2}}$
- ☐ E  $\omega = \sqrt{\frac{3gH}{4R^2}}$

**Q. 16 [mcPT8b]** Um disco homogêneo de massa  $M$  e raio  $R$  está acoplado ao teto através de uma corda (de massa desprezível) enrolada nas suas bordas. O disco é abandonado do repouso sob ação da gravidade  $g$ , tal como ilustrado na figura abaixo. Desprezando eventuais perdas de energia e assumindo que a corda **não** desliza sobre a borda do disco, determine o módulo da velocidade linear  $V$  do disco como função da altura  $H$  em relação a sua posição inicial. O momento de inércia do disco em torno de um eixo perpendicular contendo seu centro de massa é  $MR^2/2$ .



- ☐ A  $V = \sqrt{\frac{4gH}{3}}$
- ☐ B  $V = \sqrt{gH}$
- ☐ C  $V = \sqrt{\frac{gH}{2}}$
- ☐ D  $V = \sqrt{2gH}$
- ☐ E  $V = \sqrt{\frac{3gH}{4}}$

**Q. 17 [emPT1a]**

O campo elétrico de uma onda plana que se propaga no vácuo é dado por

$$\mathbf{E}(\mathbf{r}, t) = E_0(\hat{x} + \hat{z})e^{-i(\omega t - ky)},$$

sendo  $\mathbf{k} = k\hat{y}$  o vetor de onda. Determine o campo magnético  $\mathbf{B}(\mathbf{r}, t)$ .

☐  $\mathbf{B}(\mathbf{r}, t) = \frac{E_0}{c} e^{-i(\omega t - ky)}(\hat{x} - \hat{z})$

☐  $\mathbf{B}(\mathbf{r}, t) = \frac{E_0}{c} e^{-i(\omega t - ky)}(\hat{y} + \hat{z})$

☐  $\mathbf{B}(\mathbf{r}, t) = \frac{E_0}{c} e^{-i(\omega t - ky)}(\hat{x} + \hat{z})$

☐  $\mathbf{B}(\mathbf{r}, t) = \frac{E_0}{c} e^{-i(\omega t + ky)}\hat{y}$

☐  $\mathbf{B}(\mathbf{r}, t) = \frac{E_0}{c} e^{-i(\omega t + ky)}\hat{x}$

**Q. 18 [emPT1b]**

O campo elétrico de uma onda plana que se propaga no vácuo é dado por

$$\mathbf{E}(\mathbf{r}, t) = E_0(\hat{y} + \hat{z})e^{-i(\omega t - kx)},$$

sendo  $\mathbf{k} = k\hat{x}$  o vetor de onda. Determine o campo magnético  $\mathbf{B}(\mathbf{r}, t)$ .

☐  $\mathbf{B}(\mathbf{r}, t) = \frac{E_0}{c} e^{-i(\omega t - kx)}(\hat{z} - \hat{y})$

☐  $\mathbf{B}(\mathbf{r}, t) = \frac{E_0}{c} e^{-i(\omega t - kx)}(\hat{y} + \hat{z})$

☐  $\mathbf{B}(\mathbf{r}, t) = \frac{E_0}{c} e^{-i(\omega t - kx)}(\hat{x} - \hat{z})$

☐  $\mathbf{B}(\mathbf{r}, t) = \frac{E_0}{c} e^{-i(\omega t + kx)}\hat{y}$

☐  $\mathbf{B}(\mathbf{r}, t) = \frac{E_0}{c} e^{-i(\omega t + kx)}\hat{x}$

**Q. 19 [emPT2a]** O potencial elétrico  $V$  na superfície de uma casca esférica de raio  $R$  é igual a  $V = (V_0 R/a) \cos \theta$ , em que  $\theta$  é o ângulo polar em relação a um certo eixo que passa pelo centro da esfera, enquanto  $V_0$  e  $a$  são constantes. Qual é o potencial elétrico dentro da esfera, na região a uma distância  $r = R/2$  do centro?

☐  $V = \frac{V_0}{2a} R \cos \theta$

☐  $V = \frac{V_0}{3a} R \cos \theta$

☐  $V = \frac{2V_0}{a} R \sin \theta$

☐  $V = \frac{V_0}{2a} R$

☐  $V = \frac{V_0}{3a} R$

**Q. 20 [emPT2b]** O potencial elétrico  $V$  na superfície de uma casca esférica de raio  $R$  é igual a  $V = (V_0 R/a) \cos \theta$ , em que  $\theta$  é o ângulo polar em relação a um certo eixo que passa pelo centro da esfera, enquanto  $V_0$  e  $a$  são constantes. Qual é o potencial elétrico fora da esfera, na região a uma distância  $r = 2R$  do centro?

☐  $V = \frac{V_0 R}{4a} \cos \theta$

☐  $V = \frac{V_0 R^2}{4a^2} \cos \theta$

☐  $V = \frac{V_0 R^2}{2a^2} \sin \theta$

☐  $V = \frac{V_0 R}{4a}$

☐  $V = \frac{V_0 R^2}{4a^2}$

**Q. 21 [emPT3a]** Em uma região no interior de um cilindro de raio  $R$  e altura  $h$  há um campo elétrico dado por  $\mathbf{E} = \alpha\hat{\rho} + \beta\hat{z}$  e um campo magnético dado por  $\mathbf{B} = \gamma\hat{\phi} + \delta\hat{z}$ , onde  $\alpha$ ,  $\beta$ ,  $\gamma$  e  $\delta$  são constantes. O eixo de simetria do cilindro está na direção  $\hat{z}$ . Qual é o valor absoluto da energia que atravessa a tampa superior do cilindro por unidade de tempo?

☐  $\frac{\pi R^2 \alpha \gamma}{\mu_0}$

☐  $\frac{4\pi R^2 \alpha \delta}{\gamma \beta \mu_0}$

☐  $\frac{R^2}{2\pi \beta \delta \mu_0}$

☐  $\frac{2\pi R^2 \beta \delta}{\mu_0}$

☐  $\frac{R^2}{4\pi \alpha \gamma \mu_0}$



**Q. 22 [emPT3b]** Em uma região no interior de um cilindro de raio  $R$  e altura  $h$  há um campo magnético dado por  $\mathbf{B} = \alpha\hat{\rho} + \beta\hat{z}$  e um campo elétrico dado por  $\mathbf{E} = \gamma\hat{\rho} + \delta\hat{\phi}$ , onde  $\alpha$ ,  $\beta$ ,  $\gamma$  e  $\delta$  são constantes. O eixo de simetria do cilindro está na direção  $\hat{z}$ . Qual é o valor absoluto da energia que atravessa a tampa superior do cilindro por unidade de tempo?

☒ A  $\frac{\pi R^2 \alpha \delta}{\mu_0}$

☐ C  $\frac{2\pi R^2 \beta \gamma}{\mu_0}$

☐ E  $\frac{4\pi R^2 \beta \delta}{\mu_0}$

☐ B  $\frac{2\pi R^2 \alpha \gamma}{\mu_0}$

☐ D  $\frac{4\pi R^2 \alpha \gamma}{\mu_0}$

**Q. 23 [emPT4a]** Um fio de comprimento  $L_0$  e resistência  $R_0$  é esticado de tal forma que seu novo comprimento é  $L = 2L_0$ . Considerando que a resistividade e o volume do fio não se alteram quando variamos o seu comprimento, qual é o valor da nova resistência  $R$  em termos de  $R_0$ ?

☒ A  $R = 4R_0$

☐ C  $R = 2R_0$

☐ E  $R = \frac{R_0}{4}$

☐ B  $R = R_0$

☐ D  $R = \frac{R_0}{2}$

**Q. 24 [emPT4b]** Um fio de comprimento  $L_0$  e resistência  $R_0$  é esticado de tal forma que seu novo comprimento é  $L = 3L_0$ . Considerando que a resistividade e o volume do fio não se alteram quando variamos o seu comprimento, qual é o valor da nova resistência  $R$  em termos de  $R_0$ ?

☒ A  $R = 9R_0$

☐ C  $R = 3R_0$

☐ E  $R = \frac{R_0}{9}$

☐ B  $R = R_0$

☐ D  $R = \frac{R_0}{3}$

**Q. 25 [emPT5a]** Um elétron de massa  $m_e$  é lançado com uma velocidade inicial de módulo  $v_0$  em direção a um próton mantido fixo no lugar. Se o elétron se encontra inicialmente a uma grande distância do próton, a que distância  $r$  do próton a velocidade instantânea do elétron é cinco vezes maior que sua velocidade inicial?

☒ A  $r = \frac{1}{48\pi\epsilon_0 m_e} \left(\frac{e}{v_0}\right)^2$

☐ C  $r = \frac{1}{4\pi\epsilon_0} \left(\frac{em_e}{v_0}\right)^2$

☐ E  $r = \frac{1}{4\pi\epsilon_0 m_e} \left(\frac{e}{v_0}\right)^2$

☐ B  $r = \frac{1}{8\pi\epsilon_0 m_e} \left(\frac{e}{v_0}\right)^2$

☐ D  $r = \frac{1}{48\pi\epsilon_0} \left(\frac{em_e}{v_0}\right)^2$

**Q. 26 [emPT5b]** Um elétron de massa  $m_e$  é lançado com uma velocidade inicial de módulo  $v_0$  em direção a um próton mantido fixo no lugar. Se o elétron se encontra inicialmente a uma grande distância do próton, a que distância  $r$  do próton a energia cinética do elétron é três vezes maior que sua energia cinética inicial?

☒ A  $r = \frac{1}{4\pi\epsilon_0 m_e} \left(\frac{e}{v_0}\right)^2$

☐ C  $r = \frac{1}{4\pi\epsilon_0} \left(\frac{em_e}{v_0}\right)^2$

☐ E  $r = \frac{1}{48\pi\epsilon_0 m_e} \left(\frac{e}{v_0}\right)^2$

☐ B  $r = \frac{1}{8\pi\epsilon_0 m_e} \left(\frac{e}{v_0}\right)^2$

☐ D  $r = \frac{1}{48\pi\epsilon_0} \left(\frac{em_e}{v_0}\right)^2$

**Q. 27 [emPT6a]** Duas cascas esféricas concêntricas, a primeira com densidade superficial de cargas  $\sigma_1$  e a segunda com  $\sigma_2$ , tem raios  $r_1$  e  $r_2 = 3r_1$ , respectivamente. Determine o módulo do campo elétrico  $E$  gerado por estas duas cascas a uma distância  $r = 2r_1$  do centro das cascas.

☒ A  $E = \frac{\sigma_1}{4\epsilon_0}$

☐ C  $E = 0$

☐ E  $E = \frac{2}{5} \frac{\sigma_1 + \sigma_2}{\epsilon_0}$

☐ B  $E = \frac{\sigma_1 + 9\sigma_2}{4\epsilon_0}$

☐ D  $E = \frac{5}{2} \frac{\sigma_1 + \sigma_2}{\epsilon_0}$

**Q. 28 [emPT6b]** Duas cascas esféricas concêntricas, a primeira com densidade superficial de cargas  $\sigma_1$  e a segunda com  $\sigma_2$ , tem raios  $r_1$  e  $r_2 = 2r_1$ , respectivamente. Determine o módulo do campo elétrico  $E$  gerado por estas duas cascas a uma distância  $r = 3r_1$  do centro das cascas.

☐  $E = \frac{\sigma_1 + 4\sigma_2}{9\epsilon_0}$

☐  $E = 0$

☐  $E = \frac{9}{5} \frac{\sigma_1 + \sigma_2}{\epsilon_0}$

☐  $E = \frac{\sigma_1}{81\epsilon_0}$

☐  $E = \frac{5}{9} \frac{\sigma_1 + \sigma_2}{\epsilon_0}$

**Q. 29 [emPT7a]** Considere um conjunto de dois capacitores em série, com capacitâncias  $C_1 = C$  e  $C_2 = 2C$ . Nenhum dos capacitores suporta uma diferença de potencial maior que  $V_0$  sem que seus dielétricos se rompam. Dado esse vínculo, qual é a maior energia elétrica  $U$  que pode ser armazenada no conjunto de dois capacitores?

☐  $U = \frac{3}{4} CV_0^2$

☐  $U = \frac{5}{6} CV_0^2$

☐  $U = \frac{6}{5} CV_0^2$

☐  $U = \frac{4}{3} CV_0^2$

☐  $U = \frac{1}{2} CV_0^2$

**Q. 30 [emPT7b]**

Considere um conjunto de dois capacitores em série, com capacitâncias  $C_1 = C$  e  $C_2 = 2C$ . Nenhum dos capacitores suporta uma diferença de potencial maior que  $V_0$  sem que seus dielétricos se rompam. Dado esse vínculo, qual é a maior diferença de potencial  $V$  que pode ser estabelecida entre os terminais do conjunto de dois capacitores?

☐  $V = \frac{3}{2} V_0$

☐  $V = 2V_0$

☐  $V = \frac{3}{4} V_0$

☐  $V = \frac{2}{3} V_0$

☐  $V = \frac{1}{3} V_0$

**Q. 31 [emPT8a]** Em um circuito RC, temos uma fonte com força eletromotriz  $\mathcal{E}$ , um resistor de resistência  $R$  e um capacitor de capacitância  $C$ . No instante  $t = 0$ , o circuito é fechado, fazendo com que o capacitor inicialmente descarregado comece a se carregar de acordo com a equação  $q(t) = C\mathcal{E}(1 - e^{-\frac{t}{RC}})$ . Em que instante de tempo a diferença de potencial entre os terminais do capacitor é igual à metade da diferença de potencial entre os terminais do resistor?

☐  $t = \ln\left(\frac{3}{2}\right) RC$

☐  $t = \ln\left(\frac{2}{3}\right) RC$

☐  $t = \ln\left(\frac{1}{4}\right) RC$

☐  $t = \ln\left(\frac{1}{2}\right) RC$

☐  $t = \ln(2) RC$

**Q. 32 [emPT8b]** Em um circuito RC, temos uma fonte com força eletromotriz  $\mathcal{E}$ , um resistor de resistência  $R$  e um capacitor de capacitância  $C$ . No instante  $t = 0$ , o circuito é fechado, fazendo com que o capacitor inicialmente descarregado comece a se carregar de acordo com a equação  $q(t) = C\mathcal{E}(1 - e^{-\frac{t}{RC}})$ . Em que instante de tempo a diferença de potencial entre os terminais do capacitor é igual à diferença de potencial entre os terminais do resistor?

☐  $t = \ln(2) RC$

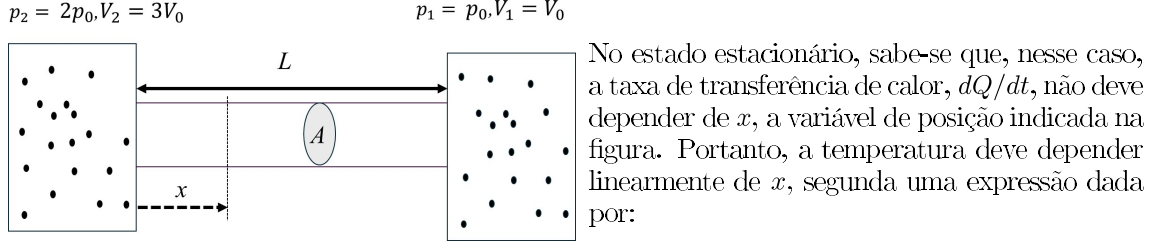
☐  $t = \ln\left(\frac{2}{3}\right) RC$

☐  $t = \ln\left(\frac{1}{4}\right) RC$

☐  $t = \ln\left(\frac{1}{2}\right) RC$

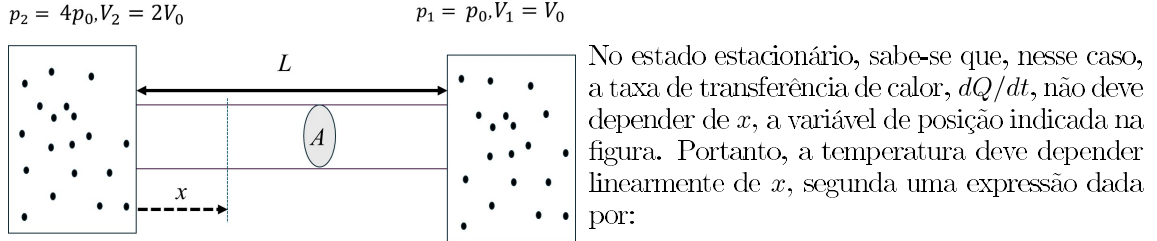
☐  $t = RC$

**Q. 33 [tePT1a]** Sabe-se que a transferência de energia entre as partes adjacentes de um corpo, em consequência da diferença entre suas temperaturas, ocorre da parte mais quente para a mais fria. Considere então uma barra cilíndrica e homogênea disposta entre dois reservatórios térmicos, cada um deles contendo um mol de gás ideal. O primeiro sustenta uma pressão  $p_1 = p_0$  e possui volume  $V_1 = V_0$ , enquanto o outro sustenta uma pressão  $p_2 = 2p_0$  e possui volume  $V_2 = 3V_0$ , conforme a figura abaixo:



- ☒  $\frac{p_0 V_0}{R} \left( -\frac{5}{L}x + 6 \right).$ 
☐  $\frac{p_0 V_0}{R} \left( -\frac{7}{L}x + 8 \right).$ 
☐  $\frac{p_0 V_0}{R} x.$
- ☐  $\frac{p_0 V_0}{R} (x + 1).$ 
☐  $\frac{p_0 V_0}{R} \left( -\frac{5}{L}x + 3 \right).$

**Q. 34 [tePT1b]** Sabe-se que a transferência de energia entre as partes adjacentes de um corpo, em consequência da diferença entre suas temperaturas, ocorre da parte mais quente para a mais fria. Considere então uma barra cilíndrica e homogênea disposta entre dois reservatórios térmicos, cada um deles contendo um mol de gás ideal. O primeiro sustenta uma pressão  $p_1 = p_0$  e possui volume  $V_1 = V_0$ , enquanto o outro sustenta uma pressão  $p_2 = 4p_0$  e possui volume  $V_2 = 2V_0$ , conforme a figura abaixo:



- ☒  $\frac{p_0 V_0}{R} \left( -\frac{7}{L}x + 8 \right).$ 
☐  $\frac{p_0 V_0}{R} \left( -\frac{5}{L}x + 6 \right).$ 
☐  $\frac{p_0 V_0}{R} x.$
- ☐  $\frac{p_0 V_0}{R} (x + 1).$ 
☐  $\frac{p_0 V_0}{R} \left( -\frac{7}{L}x + 7 \right).$

**Q. 35 [tePT2a]** Uma bola de ferro cai de uma altura  $h$ , a partir do repouso, sobre uma superfície de concreto. Após o primeiro impacto, a bola é lançada de volta a uma altura de  $\frac{h}{2}$ . Suponha que toda a energia mecânica perdida após o primeiro impacto com o chão seja transformada em energia interna da bola. Dado o calor específico do ferro  $c_F$  e a aceleração gravitacional local  $g$ , determine o aumento de temperatura da bola após a primeira colisão.

- ☒  $\Delta T = \frac{gh}{2c_F}$ 
☐  $\Delta T = \frac{2gh}{3c_F}$ 
☐  $\Delta T = \frac{gh}{c_F}$
- ☐  $\Delta T = \frac{gh}{3c_F}$ 
☐  $\Delta T = \frac{c_F}{2gh}$

**Q. 36 [tePT2b]** Uma bola de ferro cai de uma altura  $h$ , a partir do repouso, sobre uma superfície de concreto. Após o primeiro impacto, a bola é lançada de volta a uma altura de  $\frac{h}{3}$ . Suponha que toda a energia mecânica perdida após o primeiro impacto com o chão seja transformada em energia interna da bola. Dado o calor específico do ferro  $c_F$  e a aceleração gravitacional local  $g$ , determine o aumento de temperatura da bola após a primeira colisão.

☒  $\Delta T = \frac{2gh}{3c_F}$

☐  $\Delta T = \frac{gh}{2c_F}$

☐  $\Delta T = \frac{gh}{c_F}$

☐  $\Delta T = \frac{gh}{2c_F}$

☐  $\Delta T = \frac{3c_F}{2gh}$

**Q. 37 [tePT3a]** O motor de um refrigerador fornece uma potência de 100 watts. Lembre-se de que coeficiente de desempenho de um refrigerador é sempre medido com a razão do calor extraído da fonte fria pelo trabalho fornecido pelo motor desse refrigerador. Considerando que o congelador do refrigerador está a uma temperatura de 270 K e o ar ambiente está a uma temperatura de 300 K, e supondo um coeficiente de desempenho ideal, qual é a quantidade máxima de calor que pode ser extraída do congelador em um intervalo de tempo de  $\Delta t = 10$  min?

☒  $5,4 \times 10^5$  J

☐  $1,6 \times 10^5$  J

☐  $5,2 \times 10^6$  J

☐  $2,6 \times 10^7$  J

☐  $2,7 \times 10^5$  J

**Q. 38 [tePT3b]** O motor de um refrigerador fornece uma potência de 50 watts. Lembre-se de que coeficiente de desempenho de um refrigerador é sempre medido com a razão do calor extraído da fonte fria pelo trabalho fornecido pelo motor desse refrigerador. Considerando que o congelador do refrigerador está a uma temperatura de 270 K e o ar ambiente está a uma temperatura de 300 K, e supondo um coeficiente de desempenho ideal, qual é a quantidade máxima de calor que pode ser extraída do congelador em um intervalo de tempo de  $\Delta t = 10$  min?

☒  $2,7 \times 10^5$  J

☐  $8,0 \times 10^6$  J

☐  $2,4 \times 10^6$  J

☐  $1,3 \times 10^7$  J

☐  $5,4 \times 10^5$  J

**Q. 39 [tePT4a]** Considere duas porções do mesmo líquido com a mesma massa  $m$ , mas com temperaturas diferentes  $T$  e  $2T$ . As duas porções são misturadas e a mistura é mantida termicamente isolada. O calor específico do líquido é constante e dado por  $c$ . O sistema atinge o equilíbrio. A variação de entropia neste processo é dada por:

☒  $\Delta S = mc \ln\left(\frac{9}{8}\right)$ .

☐  $\Delta S = mc \ln\left(\frac{4}{3}\right)$ .

☐  $\Delta S = mc \ln\left(\frac{5}{4}\right)$ .

☐  $\Delta S = 0$ .

☐  $\Delta S = mc \ln 2$ .

**Q. 40 [tePT4b]** Considere duas porções do mesmo líquido com a mesma massa  $m$ , mas com temperaturas diferentes  $T$  e  $3T$ . As duas porções são misturadas e a mistura é mantida termicamente isolada. O calor específico do líquido é constante e dado por  $c$ . O sistema atinge o equilíbrio. A variação de entropia neste processo é dada por:

☒  $\Delta S = mc \ln\left(\frac{4}{3}\right)$ .

☐  $\Delta S = mc \ln\left(\frac{9}{8}\right)$ .

☐  $\Delta S = mc \ln\left(\frac{5}{4}\right)$ .

☐  $\Delta S = 0$ .

☐  $\Delta S = mc \ln 2$ .

**Q. 41 [fmPT1a]**

Em um referencial inercial, a força resultante sobre uma partícula de massa de repouso  $m$  é  $\mathbf{F} = At\hat{x}$ , onde  $A$  é uma constante. Se o momento inicial da partícula nesse referencial é nulo, qual é a sua velocidade medida no tempo  $t$  nesse mesmo referencial?

☒  $\frac{At^2c}{\sqrt{4m^2c^2 + A^2t^4}}\hat{x}$

☐  $\frac{At^2c}{\sqrt{m^2c^2 + A^2t^4}}\hat{x}$

☐  $\frac{At^2c}{\sqrt{4m^2c^2 + 2A^2t^4}}\hat{x}$

☐  $\frac{At^2c}{\sqrt{2m^2c^2 + A^2t^4}}\hat{x}$

☐  $\frac{2At^2c}{\sqrt{m^2c^2 + 4A^2t^4}}\hat{x}$

**Q. 42 [fmPT1b]**

Em um referencial inercial, a força resultante sobre uma partícula de massa de repouso  $m$  é  $\mathbf{F} = At^2\hat{x}$ , onde  $A$  é uma constante. Se o momento inicial da partícula nesse referencial é nulo, qual é a sua velocidade medida no tempo  $t$  nesse mesmo referencial?

- ☐  $\frac{At^3c}{\sqrt{9m^2c^2 + A^2t^6}}\hat{x}$ 
☐  $\frac{3At^3c}{\sqrt{m^2c^2 + 9A^2t^6}}\hat{x}$ 
☐  $\frac{At^3c}{\sqrt{m^2c^2 + A^2t^6}}\hat{x}$   
☐  $\frac{At^3c}{\sqrt{9m^2c^2 + 3A^2t^6}}\hat{x}$ 
☐  $\frac{At^3c}{\sqrt{m^2c^2 + 3A^2t^6}}\hat{x}$

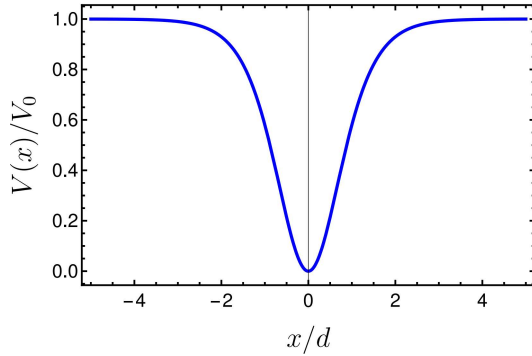
**Q. 43 [fmPT2a]** Uma molécula diatômica é formada por dois átomos idênticos cujos núcleos, de massa  $m$ , estão separados por uma distância  $d$ . A energia necessária para levar a molécula do estado fundamental para o primeiro estado excitado rotacional é:

- ☐  $\frac{2\hbar^2}{md^2}$ 
☐  $\frac{\hbar^2}{md^2}$ 
☐  $\frac{\hbar^2}{2md^2}$ 
☐  $\frac{4\pi^2\hbar^2}{md^2}$ 
☐  $\frac{2\pi^2\hbar^2}{md^2}$

**Q. 44 [fmPT2b]** Uma molécula diatômica é composta por dois átomos iguais, cada um de massa  $m$ . A energia necessária para levar a molécula do estado fundamental para o primeiro estado excitado rotacional é  $\mathcal{E}$ . Qual é a distância média entre os núcleos dos átomos dessa molécula?

- ☐  $\sqrt{\frac{2\hbar^2}{m\mathcal{E}}}$ 
☐  $\sqrt{\frac{\hbar^2}{m\mathcal{E}}}$ 
☐  $\sqrt{\frac{\hbar^2}{2m\mathcal{E}}}$ 
☐  $\sqrt{\frac{2\pi^2\hbar^2}{m\mathcal{E}}}$ 
☐  $\sqrt{\frac{4\pi^2\hbar^2}{m\mathcal{E}}}$

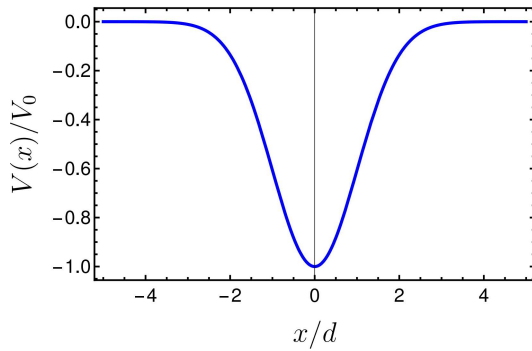
**Q. 45 [fmPT3a]**



Uma partícula de massa  $m$  está sujeita ao potencial unidimensional  $V(x) = V_0 \tanh^2(x/d)$  (ilustrado ao lado), onde  $V_0$  e  $d$  são constantes positivas. Para  $V_0$  suficientemente grande, a diferença de energia entre os dois estados ligados de mais baixa energia é aproximadamente igual a:

- ☐  $\frac{\hbar}{d}\sqrt{\frac{2V_0}{m}}$ 
☐  $\frac{\hbar}{d}\sqrt{\frac{V_0}{m}}$ 
☐  $\frac{\hbar}{d}\sqrt{\frac{V_0}{2m}}$ 
☐  $\frac{2\hbar}{d}\sqrt{\frac{V_0}{m}}$ 
☐  $\frac{\hbar}{2d}\sqrt{\frac{V_0}{m}}$

**Q. 46 [fmPT3b]**



Uma partícula de massa  $m$  está sujeita ao potencial unidimensional  $V(x) = -V_0 \exp\left(-\frac{x^2}{2d^2}\right)$  (ilustrado ao lado), onde  $V_0$  e  $d$  são constantes positivas. Para  $V_0$  suficientemente grande, a diferença de energia entre os dois estados ligados de mais baixa energia é aproximadamente igual a:

- ☐  $\frac{\hbar}{d}\sqrt{\frac{V_0}{m}}$ 
☐  $\frac{2\hbar}{d}\sqrt{\frac{V_0}{m}}$ 
☐  $\frac{\hbar}{2d}\sqrt{\frac{V_0}{m}}$ 
☐  $\frac{4\hbar}{d}\sqrt{\frac{V_0}{m}}$ 
☐  $\frac{\hbar}{4d}\sqrt{\frac{V_0}{m}}$

**Q. 47 [fmPT4a]**

Um planeta descreve uma órbita circular de raio  $R$  em torno de uma estrela cuja potência irradiada é  $P$ . Suponha que o planeta possa ser tratado aproximadamente como um corpo negro de formato esférico em equilíbrio térmico. Sendo  $k_B$  a constante de Boltzmann e  $\sigma$  a constante de Stefan–Boltzmann, a temperatura desse planeta é:

<input type="checkbox"/> $\left(\frac{P}{16\pi\sigma R^2}\right)^{\frac{1}{4}}.$	<input type="checkbox"/> $\frac{P}{4\pi k_B R^2}.$	<input type="checkbox"/> $\left(\frac{P}{\pi\sigma R^2}\right)^{\frac{1}{4}}.$
<input type="checkbox"/> $\frac{4P}{\pi k_B R^2}.$	<input type="checkbox"/> $\frac{P}{\pi k_B R^2}.$	

**Q. 48 [fmPT4b]**

Um planeta cuja temperatura média é  $T$  descreve uma órbita circular de raio  $R$  em torno de uma estrela. Suponha que o planeta possa ser tratado aproximadamente como um corpo negro de formato esférico em equilíbrio térmico. Sendo  $k_B$  a constante de Boltzmann e  $\sigma$  a constante de Stefan–Boltzmann, a potência irradiada pela estrela é:

<input type="checkbox"/> $16\pi\sigma R^2 T^4.$	<input type="checkbox"/> $4\pi R^2 k_B T.$	<input type="checkbox"/> $\pi\sigma R^2 T^4.$
<input type="checkbox"/> $\frac{\pi}{4} R^2 k_B T.$	<input type="checkbox"/> $\pi R^2 k_B T.$	

**Q. 49 [fmPT5a]** Em um experimento de efeito fotoelétrico, uma superfície metálica é iluminada com luz verde ( $\lambda_1 = 500$  nm). Os elétrons ejetados são freados totalmente quando um potencial de 0,48 V é aplicado. Ao fazermos incidir luz violeta ( $\lambda_2 = 400$  nm), o potencial necessário para frear totalmente os elétrons é:

<input type="checkbox"/> 1,1 V.	<input type="checkbox"/> 2,0 V.	<input type="checkbox"/> 3,1 V.	<input type="checkbox"/> 0,48 V.	<input type="checkbox"/> 0,62 V.
---------------------------------	---------------------------------	---------------------------------	----------------------------------	----------------------------------

**Q. 50 [fmPT5b]** Em um experimento de efeito fotoelétrico, uma superfície metálica é iluminada com luz verde ( $\lambda_1 = 500$  nm). Os elétrons ejetados são freados totalmente quando um potencial de 0,48 V é aplicado. Ao fazermos incidir luz laranja ( $\lambda_2 = 600$  nm), o potencial necessário para frear totalmente os elétrons é, com um algarismo significativo:

<input type="checkbox"/> 0,07 V.	<input type="checkbox"/> 2 V.	<input type="checkbox"/> 3 V.	<input type="checkbox"/> 0,4 V.	<input type="checkbox"/> 0,2 V.
----------------------------------	-------------------------------	-------------------------------	---------------------------------	---------------------------------

**Q. 51 [fmPT6a]** Considere que o objetivo de um certo microscópio seja atingir uma resolução suficiente para “enxergar” um átomo. Comparando microscópios eletrônicos e óticos que utilizam o mesmo comprimento de onda  $\lambda$ , a razão entre as energias dos elétrons e dos fótons para obter a resolução desejada, em termos das constantes universais  $h$  (a constante de Planck),  $m_e$  (a massa do elétron) e  $c$  (a velocidade da luz no vácuo), é:

<input type="checkbox"/> $\left(\frac{h}{2m_e c}\right) \frac{1}{\lambda}.$	<input type="checkbox"/> $\left(\frac{m_e}{hc}\right) \lambda.$	<input type="checkbox"/> $\left(\frac{2m_e h}{c}\right) \lambda.$
<input type="checkbox"/> $\left(\frac{h}{m_e c}\right) \frac{1}{\lambda}.$	<input type="checkbox"/> $\left(\frac{hc}{m_e}\right) \frac{1}{\lambda}.$	

**Q. 52 [fmPT6b]** Considere que o objetivo de um certo microscópio seja atingir uma resolução suficiente para “enxergar” um átomo. Comparando microscópios eletrônicos e óticos que utilizam o mesmo comprimento de onda  $\lambda$ , a razão entre as energias dos fótons e dos elétrons para obter a resolução desejada, em termos das constantes universais  $h$  (a constante de Planck),  $m_e$  (a massa do elétron) e  $c$  (a velocidade da luz no vácuo), é:

<input type="checkbox"/> $\left(\frac{2m_e c}{h}\right) \lambda.$	<input type="checkbox"/> $\left(\frac{hc}{m_e}\right) \frac{1}{\lambda}.$	<input type="checkbox"/> $\left(\frac{c}{2m_e h}\right) \frac{1}{\lambda}.$
<input type="checkbox"/> $\left(\frac{m_e c}{h}\right) \lambda.$	<input type="checkbox"/> $\left(\frac{m_e}{hc}\right) \lambda.$	

**Q. 53 [fmPT7a]** Em um acelerador de partículas, estuda-se a colisão frontal de duas partículas idênticas. No referencial do laboratório, as partículas movem-se em sentidos opostos com velocidades de módulo  $0,50c$ . No referencial de uma das partículas, o módulo da velocidade com que a outra partícula se aproxima é:

- ☐ A  $0,80c$ .      ☐ B  $0,69$ .      ☐ C  $0,55c$ .      ☐ D  $0,38c$ .      ☐ E  $0,88c$ .

**Q. 54 [fmPT7b]** Em um acelerador de partículas, estuda-se a colisão frontal de duas partículas idênticas. No referencial do laboratório, as partículas movem-se em sentidos opostos com velocidades de módulo  $0,30c$ . No referencial de uma das partículas, o módulo da velocidade com que a outra partícula se aproxima é:

- ☐ A  $0,55c$ .      ☐ B  $0,69$ .      ☐ C  $0,80c$ .      ☐ D  $0,38c$ .      ☐ E  $0,88c$ .

**Q. 55 [fmPT8a]** O olho humano é um sensor ótico extremamente sensível a fótons da região do espectro visível. Tipicamente, a retina pode absorver uma potência luminosa de aproximadamente  $4 \cdot 10^{-17} \text{ W}$  em um comprimento de onda de  $500 \text{ nm}$ . Isto quer dizer que a retina absorve em torno de:

- ☐ A 100 fótons por segundo.      ☐ C  $6 \cdot 10^{20}$  fótons por se-      ☐ D 6000 fótons por segundo.  
☐ B  $10^{13}$  fótons por segundo.      gundo.      ☐ E 200 fótons por segundo.

**Q. 56 [fmPT8b]** O olho humano é um sensor ótico extremamente sensível a fótons da região do espectro visível. Considere que a retina possa absorver em torno de 50 fótons de comprimento de onda  $450 \text{ nm}$  por segundo. Isso quer dizer que a retina absorve uma potência luminosa de aproximadamente:

- ☐ A  $2,2 \cdot 10^{-17} \text{ W}$ .      ☐ C  $225 \text{ W}$ .      ☐ E  $7,8 \cdot 10^{-17} \text{ W}$ .  
☐ B  $2,2 \cdot 10^{-6} \text{ W}$ .      ☐ D  $4,0 \cdot 10^{-15} \text{ W}$ .

**Q. 57 [mqPT1a]** O Hamiltoniano de um elétron em um campo magnético uniforme pode ter a seguinte representação matricial:

$$\mathcal{H} = b \begin{bmatrix} 1 & 0 \\ 0 & -1 \end{bmatrix}, \quad (3)$$

onde  $b = -\hbar\gamma B/2$ ,  $\gamma$  é a razão giromagnética do elétron e  $B$  é a intensidade do campo magnético. Das alternativas abaixo, indique a verdadeira:

- ☐ A Os autovalores de energia são  $\pm b$ , correspondentes a autoestados de  $\mathcal{H}$  nos quais o spin do elétron está alinhado ou oposto ao campo magnético.  
☐ B Os autovalores de energia são  $\pm b/2$ , correspondentes a autoestados de  $\mathcal{H}$  nos quais o spin do elétron está alinhado ou oposto ao campo magnético.  
☐ C Os autovalores de energia são  $\pm b$ , com  $-b$  correspondente ao autoestado de  $\mathcal{H}$  no qual o spin do elétron está perpendicular ao campo magnético e  $+b$  àquele no qual o spin do elétron está paralelo ao campo magnético.  
☐ D Os autovalores de energia são  $\pm b/2$ , com  $-b/2$  correspondente ao autoestado de  $\mathcal{H}$  no qual o spin do elétron está perpendicular ao campo magnético e  $+b/2$  àquele no qual o spin do elétron está paralelo ao campo magnético.  
☐ E Os dois autoestados de  $\mathcal{H}$ , um no qual o spin do elétron está oposto ao campo magnético e o outro no qual o spin do elétron está alinhado com o campo magnético, possuem autovalores de energia degenerados, iguais a  $b$ .

**Q. 58 [mqPT1b]** O Hamiltoniano de um elétron em um campo magnético uniforme pode ter a seguinte representação matricial:

$$\mathcal{H} = \hbar c \begin{bmatrix} 1 & 0 \\ 0 & -1 \end{bmatrix}, \quad (4)$$

onde  $c = -\gamma B/2$ ,  $\gamma$  é a razão giromagnética do elétron e  $B$  é a intensidade do campo magnético. Das alternativas abaixo, indique a verdadeira:

- ☒ **A** Os autovalores de energia são  $\pm \hbar c$ , correspondentes a autoestados de  $\mathcal{H}$  nos quais o spin do elétron está alinhado ou oposto ao campo magnético.
- ☐ **B** Os autovalores de energia são  $\pm \hbar c/2$ , correspondentes a autoestados de  $\mathcal{H}$  nos quais o spin do elétron está alinhado ou oposto ao campo magnético.
- ☐ **C** Os autovalores de energia são  $\pm \hbar c$ , com  $-\hbar c$  correspondente ao autoestado de  $\mathcal{H}$  no qual o spin do elétron está perpendicular ao campo magnético e  $+\hbar c$  àquele no qual o spin do elétron está paralelo ao campo magnético.
- ☐ **D** Os autovalores de energia são  $\pm \hbar c/2$ , com  $-\hbar c/2$  correspondente ao autoestado de  $\mathcal{H}$  no qual o spin do elétron está perpendicular ao campo magnético e  $+\hbar c/2$  àquele no qual o spin do elétron está paralelo ao campo magnético.
- ☐ **E** Os dois autoestados de  $\mathcal{H}$ , um no qual o spin do elétron está oposto ao campo magnético e o outro no qual o spin do elétron está alinhado com o campo magnético, possuem autovalores de energia degenerados, iguais a  $\hbar c$ .

**Q. 59 [mqPT2a]** Sendo V para afirmativa verdadeira e F para afirmativa falsa, indique a sequência correspondente às afirmativas abaixo acerca de partículas quânticas idênticas:

- Em um sistema de partículas quânticas idênticas, a indistinguibilidade das partículas leva à simetrização ou antissimetrização da função de onda do sistema com relação à permutação das coordenadas (incluindo possíveis índices de spin) das partículas.
- Partículas quânticas idênticas são distinguíveis sendo possível identificar as coordenadas (incluindo possíveis índices de spin) de cada partícula na função de onda do sistema de partículas quânticas idênticas.
- O princípio de exclusão de Pauli decorre da antissimetria da função de onda de um sistema de férmions idênticos com relação à permutação das coordenadas (incluindo possíveis índices de spin) dos férmions na dita função de onda.
- A condensação de Bose-Einstein decorre da antissimetria da função de onda de um sistema de férmions idênticos com relação à permutação das coordenadas (incluindo possíveis índices de spin) dos férmions na dita função de onda.

☒ **A** V, F, V, F.

☐ **B** V, F, V, V.

☐ **C** F, F, V, F.

☐ **D** V, F, F, F.

☐ **E** V, F, F, V.



**Q. 60 [mqPT2b]** Sendo V para afirmativa verdadeira e F para afirmativa falsa, indique a sequência correspondente às afirmativas abaixo acerca de partículas quânticas idênticas:

- Uma vez que partículas quânticas idênticas são distinguíveis não é necessário simetrizar ou antissimetrizar a função de onda de um sistema de partículas quânticas idênticas com relação à permutação das coordenadas (incluindo possíveis índices de spin) das partículas.
- Partículas quânticas idênticas são indistinguíveis não sendo possível identificar as coordenadas (incluindo possíveis índices de spin) de cada partícula na função de onda de um sistema de partículas quânticas idênticas.
- O princípio de exclusão de Pauli decorre da simetria da função de onda de um sistema de bósons idênticos com relação à permutação das coordenadas (incluindo possíveis índices de spin) dos bósons na dita função de onda.
- A condensação de Bose-Einstein decorre da simetria da função de onda de um sistema bósons idênticos com relação à permutação das coordenadas (incluindo possíveis índices de spin) dos bósons na dita função de onda.

☐ F, V, F, V.

☐ F, F, F, V.

☐ F, V, V, F.

☐ F, V, F, F.

☐ V, V, F, F.

**Q. 61 [mqPT3a]** As matrizes  $S_x$ ,  $S_y$  e  $S_z$  que representam as componentes do spin de um elétron ao longo dos eixos  $x$ ,  $y$  e  $z$  na representação em que  $S_z$  é diagonal são, respectivamente,

$$S_x = \frac{\hbar}{2} \begin{bmatrix} 0 & 1 \\ 1 & 0 \end{bmatrix}, \quad S_y = \frac{\hbar}{2} \begin{bmatrix} 0 & -i \\ i & 0 \end{bmatrix}, \quad S_z = \frac{\hbar}{2} \begin{bmatrix} 1 & 0 \\ 0 & -1 \end{bmatrix}.$$

Considere um estado de spin de um elétron dado por  $|\chi\rangle = a|\uparrow\rangle + b|\downarrow\rangle$ , onde  $a$  e  $b$  são números complexos, e os vetores ortonormais que constituem a base de estados empregada,

$$|\uparrow\rangle = \begin{bmatrix} 1 \\ 0 \end{bmatrix} \quad \text{e} \quad |\downarrow\rangle = \begin{bmatrix} 0 \\ 1 \end{bmatrix},$$

são os autoestados de  $S_z$  com autovalores  $\pm\hbar/2$ , respectivamente. Sendo  $\text{Re}(z)$  a parte real do número complexo  $z$ , os valores esperados do spin do elétron no estado  $|\chi\rangle$  ao longo dos eixos  $z$  e  $x$  são, respectivamente:

☐  $\frac{\hbar}{2}(|a|^2 - |b|^2)$  e  $+\hbar \text{Re}(ab^*)$

☐  $\frac{\hbar}{2}(|a|^2 + |b|^2)$  e  $+\hbar \text{Re}(ab^*)$

☐  $\frac{\hbar}{2}(|a|^2 - |b|^2)$  e  $-\hbar \text{Re}(ab^*)$

☐  $\frac{\hbar}{2}(|b|^2 - |a|^2)$  e  $+\hbar \text{Re}(ab^*)$

☐  $\frac{\hbar}{2}(|b|^2 - |a|^2)$  e  $-\hbar \text{Re}(ab^*)$

**Q. 62 [mqPT3b]** As matrizes  $S_x$ ,  $S_y$  e  $S_z$  que representam as componentes do spin de um elétron ao longo dos eixos  $x$ ,  $y$  e  $z$  na representação em que  $S_z$  é diagonal são, respectivamente,

$$S_x = \frac{\hbar}{2} \begin{bmatrix} 0 & 1 \\ 1 & 0 \end{bmatrix}, \quad S_y = \frac{\hbar}{2} \begin{bmatrix} 0 & -i \\ i & 0 \end{bmatrix}, \quad S_z = \frac{\hbar}{2} \begin{bmatrix} 1 & 0 \\ 0 & -1 \end{bmatrix}.$$

Considere um estado de spin de um elétron dado por  $|\chi\rangle = a|\uparrow\rangle + b|\downarrow\rangle$ , onde  $a$  e  $b$  são números complexos, e os vetores ortonormais que constituem a base de estados empregada,

$$|\uparrow\rangle = \begin{bmatrix} 1 \\ 0 \end{bmatrix} \quad \text{e} \quad |\downarrow\rangle = \begin{bmatrix} 0 \\ 1 \end{bmatrix},$$

são os autoestados de  $S_z$  com autovalores  $\pm\hbar/2$ , respectivamente. Sendo  $\text{Im}(z)$  a parte imaginária do número complexo  $z$ , os valores esperados do spin do elétron no estado  $|\chi\rangle$  ao longo dos eixos  $z$  e  $y$  são, respectivamente:

☐  $\frac{\hbar}{2}(|a|^2 - |b|^2)$  e  $-\hbar\text{Im}(ab^*)$

☐  $\frac{\hbar}{2}(|a|^2 + |b|^2)$  e  $+\hbar\text{Im}(ab^*)$

☐  $\frac{\hbar}{2}(|a|^2 - |b|^2)$  e  $+\hbar\text{Im}(ab^*)$

☐  $\frac{\hbar}{2}(|b|^2 - |a|^2)$  e  $+\hbar\text{Im}(ab^*)$

☐  $\frac{\hbar}{2}(|b|^2 - |a|^2)$  e  $-\hbar\text{Im}(ab^*)$

**Q. 63 [mqPT4a]** O operador Hamiltoniano de um oscilador harmônico quântico é dado por  $H = \hbar\omega(a^\dagger a + 1/2)$ , com  $a^\dagger a|n\rangle = n|n\rangle$  e  $|n\rangle$  o autoestado de  $H$  referente ao  $n$ -ésimo nível de energia do oscilador. Seja  $|\psi\rangle = \sqrt{0,4}|2\rangle + \sqrt{0,6}|3\rangle$  o estado de sobreposição normalizado de um dado oscilador em um dado instante de tempo. O valor esperado da energia desse oscilador é

☐  $3,1\hbar\omega$ .      ☐  $3,1\hbar\omega^2$ .      ☐  $2,0\hbar\omega$ .      ☐  $2,0\hbar\omega^2$ .      ☐  $\hbar\omega$ .

**Q. 64 [mqPT4b]** O operador Hamiltoniano de um oscilador harmônico quântico é dado por  $H = \hbar\omega(a^\dagger a + 1/2)$ , com  $a^\dagger a|n\rangle = n|n\rangle$  e  $|n\rangle$  o autoestado de  $H$  referente ao  $n$ -ésimo nível de energia do oscilador. Seja  $|\psi\rangle = \sqrt{0,3}|2\rangle + \sqrt{0,7}|3\rangle$  o estado de sobreposição normalizado de um dado oscilador em um dado instante de tempo. O valor esperado da energia desse oscilador é

☐  $3,2\hbar\omega$ .      ☐  $3,2\hbar\omega^2$ .      ☐  $0,5\hbar\omega$ .      ☐  $0,5\hbar\omega^2$ .      ☐  $\hbar\omega$ .

**Q. 65 [mqPT5a]** A determinação do estado de spin dos elétrons de um feixe pode ser feita através de aparatos do tipo Stern–Gerlach, que separam o feixe de acordo com a componente de spin ao longo da direção definida pelo campo magnético no interior do aparato. Suponha uma montagem sequencial de três desses aparatos. O primeiro mede a componente  $z$  do spin e o o valor  $\hbar/2$  é obtido. O segundo mede a componente  $y$  do spin e retorna  $-\hbar/2$ . Se terceiro aparato medir a componente  $x$  do spin, qual é a probabilidade de obtermos o valor  $\hbar/2$ ?

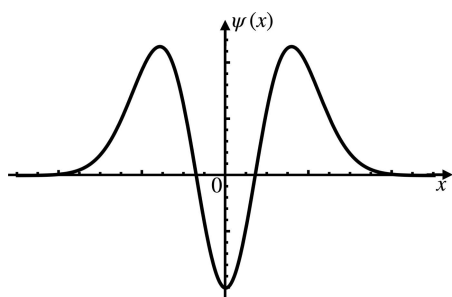
☐  $1/2$       ☐  $0$       ☐  $1/4$       ☐  $3/4$       ☐  $1$

**Q. 66 [mqPT5b]** A determinação do estado de spin dos elétrons de um feixe pode ser feita através de aparatos do tipo Stern–Gerlach, que separam o feixe de acordo com a componente de spin ao longo da direção definida pelo campo magnético no interior do aparato. Suponha uma montagem sequencial de três desses aparatos. O primeiro mede a componente  $z$  do spin e o o valor  $-\hbar/2$  é obtido. O segundo mede a componente  $x$  do spin e retorna  $\hbar/2$ . Se terceiro aparato medir a componente  $y$  do spin, qual é a probabilidade de obtermos o valor  $-\hbar/2$ ?

☐  $1/2$       ☐  $0$       ☐  $1/4$       ☐  $3/4$       ☐  $1$



**Q. 70 [mqPT7b]** O gráfico abaixo representa a autofunção de energia  $\psi(x)$ , como função da posição  $x$ , de um dos estados excitados de um oscilador harmônico simples unidimensional de frequência  $\omega$ . Qual é a energia desse estado?



☒  $5\hbar\omega/2$

☐  $\hbar\omega/2$

☐  $3\hbar\omega/2$

☐  $7\hbar\omega/2$

☐  $9\hbar\omega/2$

**Q. 71 [mqPT8a]** Considere uma partícula de spin  $1/2$  sob a ação de um campo magnético estático e uniforme, cuja orientação define a direção  $x$ . Os demais graus de liberdade podem ser considerados “congelados” em um estado quântico definido, de forma que o hamiltoniano relevante envolve apenas a interação do spin com o campo magnético, podendo ser escrito como

$$H = \omega \hat{S}_x,$$

em que  $\hat{S}_x$  é componente  $x$  do operador de spin e  $\omega = Bgq/2m$ , sendo  $q$  a carga da partícula,  $m$  a sua massa,  $g$  o seu fator giromagnético e  $B$  a intensidade do campo magnético aplicado. Se no tempo  $t = 0$  o sistema está em um estado  $|\psi(0)\rangle$  com spin para cima, ou seja  $\hat{S}_z|\psi(0)\rangle = \hbar/2|\psi(0)\rangle$ , qual é o tempo mínimo para o sistema inverter o seu spin?

☒  $\pi/\omega$       ☐  $2\pi/\omega$       ☐  $\infty$       ☐  $\pi/2\omega$       ☐  $\pi/4\omega$

**Q. 72 [mqPT8b]** Considere uma partícula de spin  $1/2$  sob a ação de um campo magnético estático e uniforme, cuja orientação define a direção  $x$ . Os demais graus de liberdade podem ser considerados “congelados” em um estado quântico definido, de forma que o hamiltoniano relevante envolve apenas a interação do spin com o campo magnético, podendo ser escrito como

$$H = \omega \hat{S}_x,$$

em que  $\hat{S}_x$  é componente  $x$  do operador de spin e  $\omega = Bgq/2m$ , sendo  $q$  a carga da partícula,  $m$  a sua massa,  $g$  o seu fator giromagnético e  $B$  a intensidade do campo magnético aplicado. Se no tempo  $t = 0$  o sistema está em um estado  $|\psi(0)\rangle$  com spin para baixo, ou seja  $\hat{S}_z|\psi(0)\rangle = -\hbar/2|\psi(0)\rangle$ , qual é o tempo mínimo posterior para que o sistema volte a esse estado inicial?

☒  $2\pi/\omega$       ☐  $\pi/\omega$       ☐  $\infty$       ☐  $\pi/2\omega$       ☐  $\pi/4\omega$

**Q. 73 [fePT1a]** Considere um gás ideal de  $N$  partículas clássicas e indistinguíveis em contato com um reservatório térmico à temperatura  $T$  e ocupando um volume  $V$ . A probabilidade de encontrar  $N/3$  moléculas em um volume  $V/3$  e as demais moléculas no volume restante é dada por:

☒  $\frac{N!}{\left(\frac{N}{3}\right)! \left(\frac{2N}{3}\right)!} \left(\frac{1}{3}\right)^{N/3} \left(\frac{2}{3}\right)^{2N/3}.$

☐  $\frac{2}{9}.$

☐  $\left(\frac{1}{3}\right)^{N/3} \left(\frac{2}{3}\right)^{2N/3}.$

☐  $\frac{N!}{\left(\frac{N}{3}\right)!} \left(\frac{1}{3}\right)^{N/3}.$

☐  $\left(\frac{1}{3}\right)^{N/3}.$

**Q. 74 [fePT1b]** Considere um gás ideal de  $N$  partículas clássicas e indistinguíveis em contato com um reservatório térmico à temperatura  $T$  e ocupando um volume  $V$ . A probabilidade de encontrar  $N/4$  moléculas em um volume  $V/4$  e as demais moléculas no volume restante é dada por:

☒  $\frac{N!}{\left(\frac{N}{4}\right)! \left(\frac{3N}{4}\right)!} \left(\frac{1}{4}\right)^{N/4} \left(\frac{3}{4}\right)^{3N/4}.$

☐  $\frac{3}{16}.$

☐  $\left(\frac{1}{4}\right)^{N/4} \left(\frac{3}{4}\right)^{3N/4}.$

☐  $\frac{N!}{\left(\frac{N}{4}\right)!} \left(\frac{1}{4}\right)^{N/4}.$

☐  $\left(\frac{1}{4}\right)^{N/4}.$

**Q. 75 [fePT2a]** Considere um sistema formado por 5 partículas não interagentes e localizadas, todas em contato com um mesmo reservatório térmico de temperatura  $T$  [ $\beta = (k_B T)^{-1}$ ]. Cada partícula é caracterizada pela variável  $n_i$  que assume os valores 0 ou 1. A energia do sistema vale  $\epsilon(n_1 + n_2 + n_3 + n_4 + n_5)$ , sendo  $\epsilon > 0$  constante. A probabilidade de que a energia total do sistema seja maior ou igual a  $4\epsilon$  é dada por:

☒  $\frac{5e^{-4\beta\epsilon} + e^{-5\beta\epsilon}}{(1 + e^{-\beta\epsilon})^5}.$

☐  $\frac{10e^{-3\beta\epsilon} + 5e^{-4\beta\epsilon} + e^{-5\beta\epsilon}}{(1 + e^{-\beta\epsilon})^5}.$

☐  $\frac{e^{-4\beta\epsilon}}{(1 + e^{-\beta\epsilon})^5}.$

☐  $\frac{4}{5}.$

☐  $\frac{1 + 5e^{-\beta\epsilon} + 10e^{-2\beta\epsilon}}{(1 + e^{-\beta\epsilon})^5}.$

**Q. 76 [fePT2b]** Considere um sistema formado por 5 partículas não interagentes e localizadas, todas em contato com um mesmo reservatório térmico de temperatura  $T$  [ $\beta = (k_B T)^{-1}$ ]. Cada partícula é caracterizada pela variável  $n_i$  que assume os valores 0 ou 1. A energia do sistema vale  $\epsilon(n_1 + n_2 + n_3 + n_4 + n_5)$ , sendo  $\epsilon > 0$  constante. A probabilidade de que a energia total do sistema seja menor ou igual a  $\epsilon$  é dada por:

☒  $\frac{1 + 5e^{-\beta\epsilon}}{(1 + e^{-\beta\epsilon})^5}.$

☐  $\frac{1 + 5e^{-\beta\epsilon} + 10e^{-2\beta\epsilon}}{(1 + e^{-\beta\epsilon})^5}.$

☐  $\frac{e^{-\beta\epsilon} + e^{-2\beta\epsilon}}{(1 + e^{-\beta\epsilon})^5}.$

☐  $\frac{2}{5}.$

☐  $\frac{10e^{-3\beta\epsilon} + 5e^{-4\beta\epsilon} + e^{-5\beta\epsilon}}{(1 + e^{-\beta\epsilon})^5}.$

**Q. 77 [fePT3a]** Considere um sistema formado por 2 **bósons** idênticos de spin zero e não interagentes, cada um dos quais pode ocupar dois níveis de energia: o estado fundamental, de energia 0, e o estado excitado, de energia  $\epsilon$ . O sistema está em contato com um reservatório térmico de temperatura  $T$  [ $\beta = (k_B T)^{-1}$ ]. A energia média  $U$  desse sistema é então dada por:

☐ **A**  $U = \frac{\epsilon(e^{-\beta\epsilon} + 2e^{-2\beta\epsilon})}{1 + e^{-\beta\epsilon} + e^{-2\beta\epsilon}}.$

☐ **B**  $U = \frac{2\epsilon e^{-\beta\epsilon}}{1 + e^{-\beta\epsilon}}.$

☐ **C**  $U = \frac{\epsilon(e^{-\beta\epsilon} + e^{-2\beta\epsilon})}{1 + e^{-\beta\epsilon} + e^{-2\beta\epsilon}}.$

☐ **D**  $U = k_B T.$

☐ **E**  $U = \frac{\epsilon(e^{-\beta\epsilon} + e^{-2\beta\epsilon})}{(1 + e^{-\beta\epsilon})^2}.$

**Q. 78 [fePT3b]** Considere um sistema formado por 2 **férmions** idênticos sem spin e não interagentes. Cada férmion pode ocupar três níveis de energia: o estado fundamental, de energia 0, um primeiro estado excitado, de energia  $\epsilon$ , e um segundo estado excitado, de energia  $2\epsilon$ . O sistema está em contato com um reservatório térmico de temperatura  $T$  [ $\beta = (k_B T)^{-1}$ ]. A energia média  $U$  desse sistema é então dada por:

☐ **A**  $U = \frac{\epsilon(1 + 2e^{-\beta\epsilon} + 3e^{-2\beta\epsilon})}{1 + e^{-\beta\epsilon} + e^{-2\beta\epsilon}}.$

☐ **B**  $U = \frac{3\epsilon e^{-\beta\epsilon}}{1 + e^{-\beta\epsilon}}.$

☐ **C**  $U = \frac{\epsilon(e^{-\beta\epsilon} + e^{-2\beta\epsilon})}{1 + e^{-\beta\epsilon} + e^{-2\beta\epsilon}}.$

☐ **D**  $U = k_B T.$

☐ **E**  $U = \frac{\epsilon(1 + e^{-\beta\epsilon} + e^{-2\beta\epsilon})}{(1 + e^{-\beta\epsilon})^3}.$

**Q. 79 [fePT4a]** Um sistema é formado por  $N$  íons magnéticos localizados e não interagentes entre si, em contato com um banho térmico de temperatura  $T$  [ $\beta = (k_B T)^{-1}$ ]. Cada íon tem energia dada por  $\epsilon = -\mu_0 h S_i$ , onde  $\mu_0, h$  e  $S_i$  denotam, respectivamente, o magneton de Bohr, a intensidade do campo magnético e a variável de spin, esta última podendo assumir os valores  $S_i = \pm 1$ . O valor de  $\beta\mu_0 h$  em que a magnetização por íon  $m = \sum_{i=1}^N \langle S_i \rangle / N$  vale 0,8  $\mu_0$  é dado por:

☐ **A**  $\beta\mu_0 h = \tanh^{-1}(0,8).$

☐ **B**  $\beta\mu_0 h = \sinh^{-1}(0,8).$

☐ **C**  $\beta\mu_0 h = \cosh^{-1}(0,8).$

☐ **D**  $\beta\mu_0 h = -\tanh^{-1}(0,8).$

☐ **E**  $\beta\mu_0 h = -\sinh^{-1}(0,8).$

**Q. 80 [fePT4b]** Um sistema é formado por  $N$  íons magnéticos localizados e não interagentes entre si, em contato com um banho térmico de temperatura  $T$  [ $\beta = (k_B T)^{-1}$ ]. Cada íon tem energia dada por  $\epsilon = -\mu_0 h S_i$ , onde  $\mu_0, h$  e  $S_i$  denotam, respectivamente, o magneton de Bohr, a intensidade do campo magnético e a variável de spin, esta última podendo assumir os valores  $S_i = \pm 1$ . O valor de  $\beta\mu_0 h$  em que a magnetização por íon  $m = \sum_{i=1}^N \langle S_i \rangle / N$  vale  $-0,2\mu_0$  é dado por:

☒ **A**  $\beta\mu_0 h = -\tanh^{-1}(0,2).$

☐ **B**  $\beta\mu_0 h = -\sinh^{-1}(0,2).$

☐ **C**  $\beta\mu_0 h = \cosh^{-1}(0,2).$

☐ **D**  $\beta\mu_0 h = \tanh^{-1}(0,2).$

☐ **E**  $\beta\mu_0 h = \sinh^{-1}(0,2).$

# Folha de Respostas

12024EUF0001

João Ninguém

Q. 1 : ☒ A ☐ B ☐ C ☐ D ☐ EQ. 2 : ☒ A ☐ B ☐ C ☐ D ☐ EQ. 3 : ☒ A ☐ B ☐ C ☐ D ☐ EQ. 4 : ☒ A ☐ B ☐ C ☐ D ☐ EQ. 5 : ☒ A ☐ B ☐ C ☐ D ☐ EQ. 6 : ☒ A ☐ B ☐ C ☐ D ☐ EQ. 7 : ☒ A ☐ B ☐ C ☐ D ☐ EQ. 8 : ☒ A ☐ B ☐ C ☐ D ☐ EQ. 9 : ☒ A ☐ B ☐ C ☐ D ☐ EQ. 10 : ☒ A ☐ B ☐ C ☐ D ☐ EQ. 11 : ☒ A ☐ B ☐ C ☐ D ☐ EQ. 12 : ☒ A ☐ B ☐ C ☐ D ☐ EQ. 13 : ☒ A ☐ B ☐ C ☐ D ☐ EQ. 14 : ☒ A ☐ B ☐ C ☐ D ☐ EQ. 15 : ☒ A ☐ B ☐ C ☐ D ☐ EQ. 16 : ☒ A ☐ B ☐ C ☐ D ☐ EQ. 17 : ☒ A ☐ B ☐ C ☐ D ☐ EQ. 18 : ☒ A ☐ B ☐ C ☐ D ☐ EQ. 19 : ☒ A ☐ B ☐ C ☐ D ☐ EQ. 20 : ☒ A ☐ B ☐ C ☐ D ☐ EQ. 21 : ☒ A ☐ B ☐ C ☐ D ☐ EQ. 22 : ☒ A ☐ B ☐ C ☐ D ☐ EQ. 23 : ☒ A ☐ B ☐ C ☐ D ☐ EQ. 24 : ☒ A ☐ B ☐ C ☐ D ☐ EQ. 25 : ☒ A ☐ B ☐ C ☐ D ☐ EQ. 26 : ☒ A ☐ B ☐ C ☐ D ☐ EQ. 27 : ☒ A ☐ B ☐ C ☐ D ☐ EQ. 28 : ☒ A ☐ B ☐ C ☐ D ☐ EQ. 29 : ☒ A ☐ B ☐ C ☐ D ☐ EQ. 30 : ☒ A ☐ B ☐ C ☐ D ☐ EQ. 31 : ☒ A ☐ B ☐ C ☐ D ☐ EQ. 32 : ☒ A ☐ B ☐ C ☐ D ☐ EQ. 33 : ☒ A ☐ B ☐ C ☐ D ☐ EQ. 34 : ☒ A ☐ B ☐ C ☐ D ☐ EQ. 35 : ☒ A ☐ B ☐ C ☐ D ☐ EQ. 36 : ☒ A ☐ B ☐ C ☐ D ☐ EQ. 37 : ☒ A ☐ B ☐ C ☐ D ☐ EQ. 38 : ☒ A ☐ B ☐ C ☐ D ☐ EQ. 39 : ☒ A ☐ B ☐ C ☐ D ☐ EQ. 40 : ☒ A ☐ B ☐ C ☐ D ☐ EQ. 41 : ☒ A ☐ B ☐ C ☐ D ☐ EQ. 42 : ☒ A ☐ B ☐ C ☐ D ☐ EQ. 43 : ☒ A ☐ B ☐ C ☐ D ☐ EQ. 44 : ☒ A ☐ B ☐ C ☐ D ☐ EQ. 45 : ☒ A ☐ B ☐ C ☐ D ☐ EQ. 46 : ☒ A ☐ B ☐ C ☐ D ☐ EQ. 47 : ☒ A ☐ B ☐ C ☐ D ☐ EQ. 48 : ☒ A ☐ B ☐ C ☐ D ☐ E



# CATALOG

Q. 49 : ☐ A ☐ B ☐ C ☐ D ☐ E

Q. 50 : ☐ A ☐ B ☐ C ☐ D ☐ E

Q. 51 : ☐ A ☐ B ☐ C ☐ D ☐ E

Q. 52 : ☐ A ☐ B ☐ C ☐ D ☐ E

Q. 53 : ☐ A ☐ B ☐ C ☐ D ☐ E

Q. 54 : ☐ A ☐ B ☐ C ☐ D ☐ E

Q. 55 : ☐ A ☐ B ☐ C ☐ D ☐ E

Q. 56 : ☐ A ☐ B ☐ C ☐ D ☐ E

Q. 57 : ☐ A ☐ B ☐ C ☐ D ☐ E

Q. 58 : ☐ A ☐ B ☐ C ☐ D ☐ E

Q. 59 : ☐ A ☐ B ☐ C ☐ D ☐ E

Q. 60 : ☐ A ☐ B ☐ C ☐ D ☐ E

Q. 61 : ☐ A ☐ B ☐ C ☐ D ☐ E

Q. 62 : ☐ A ☐ B ☐ C ☐ D ☐ E

Q. 63 : ☐ A ☐ B ☐ C ☐ D ☐ E

Q. 64 : ☐ A ☐ B ☐ C ☐ D ☐ E

Q. 65 : ☐ A ☐ B ☐ C ☐ D ☐ E

Q. 66 : ☐ A ☐ B ☐ C ☐ D ☐ E

Q. 67 : ☐ A ☐ B ☐ C ☐ D ☐ E

Q. 68 : ☐ A ☐ B ☐ C ☐ D ☐ E

Q. 69 : ☐ A ☐ B ☐ C ☐ D ☐ E

Q. 70 : ☐ A ☐ B ☐ C ☐ D ☐ E

Q. 71 : ☐ A ☐ B ☐ C ☐ D ☐ E

Q. 72 : ☐ A ☐ B ☐ C ☐ D ☐ E

Q. 73 : ☐ A ☐ B ☐ C ☐ D ☐ E

Q. 74 : ☐ A ☐ B ☐ C ☐ D ☐ E

Q. 75 : ☐ A ☐ B ☐ C ☐ D ☐ E

Q. 76 : ☐ A ☐ B ☐ C ☐ D ☐ E

Q. 77 : ☐ A ☐ B ☐ C ☐ D ☐ E

Q. 78 : ☐ A ☐ B ☐ C ☐ D ☐ E

Q. 79 : ☐ A ☐ B ☐ C ☐ D ☐ E

Q. 80 : ☐ A ☐ B ☐ C ☐ D ☐ E

## CATALOG